

Bojarski, 1996b

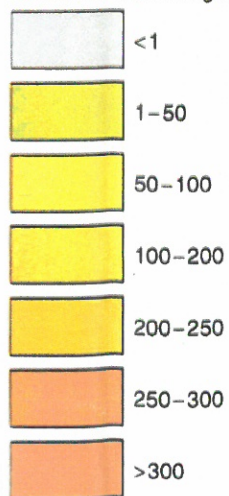
- Utwory czerwonego spągowca o przewadze facji mułowcowo-ilastej, nieprzepuszczalne
The Rotliegendes formation of predominant muddy-clayey facies, impermeable
- Izometry gradientów ciśnienia złożowego w hPa · 10³/10 m
Isorhythms of formation pressure gradient, hPa · 10³/10 m
- Wertykalny kierunek zmian zasolenia wód. Różnica mineralizacji (M) w g/dm³ i ciśnienia złożowego (P) w hPa · 10³ między czerwonym spągowcem (P₁) i karbonem (C) (gdy wartości dotyczą P₁ i C, na mapie pominięto symbole stratygraficzne; wiek innych badanych poziomów: C_m – kambr, D₂ – dewon środkowy, D₃ – dewon górny)
Vertical direction of changes in salinity of waters. Differences in mineralization (M) in g/dm³ and formation pressure (P) in hPa · 10³ between the Rotliegendes (P₁) and the Carboniferous (C) (no stratigraphic symbols printed on the map when data deals with P₁ and C; other investigated horizons: C_m – Cambrian, D₂ – Middle Devonian, D₃ – Upper Devonian)
- Lateralny kierunek zmian zasolenia wód określony na podstawie różnicy gradientów ciśnienia złożowego
Lateral direction of changes in salinity of waters, defined from difference in formation pressure gradients
- Góra
Złoże gazu ziemnego
Natural gas field
- Zasięg utworów czerwonego spągowca (według J. Pokorskiego, 1995)
Extent of the Rotliegendes formation (after J. Pokorski, 1995)
- Zasięg utworów wapienia cechsztyńskiego (według R. Wagnera, 1994)
Extent of the Zechstein Limestone formation (after R. Wagner, 1994)
- Uskoki
Faults
- Izohipsy stropu czerwonego spągowca w metrach
Contour line of the top of the Rotliegendes, m
- Granice jednostek geologicznych (według W. Pożaryskiego, 1974): a – pewne, b – przypuszczalne
Boundaries of geological units (after W. Pożaryski, 1974): a – established, b – inferred

Mapa hydrochemiczna poziomu wodonośnego permu (czerwonego spągowca i wapienia cechsztyńskiego)

skala 1 : 1 000 000

- Otwory wiertnicze
Boreholes
- 1170 Br Maksymalna zawartość bromu w mg/dm³
Maximum bromine content, mg/dm³
- 5 J Maksymalna zawartość jodu w mg/dm³
Maximum iodine content, mg/dm³
- $\frac{rSO_4^{2-} \cdot 100}{rCl^-} < 1$ $\frac{rSO_4^{2-} \cdot 100}{rCl^-} > 1$
- $\frac{Cl^-}{Br^-} < 300$ $\frac{Cl^-}{Br^-} > 300$

Obszary wód o mineralizacji ogólnej w g/dm³
Areas with waters of given TDS in g/dm³



Strefy wód o różnym stopniu metamorfizmu (według L. Bojarskiego, 1976 i W.A. Sulina, 1946)
Zones of waters of different rate of metamorphism (after L. Bojarski, 1976 and W.A. Sulin, 1946)

